

Zadanie numeryczne NUM1

Joanna Szewczyk

22.10.2024r.

Treść Zadania

Napisz program wyliczający przybliżenie pochodnej ze wzorów:

$$(a) D_h f(x) \equiv \frac{f(x+h) - f(x)}{h}$$

$$(b) D_h f(x) \equiv \frac{f(x+h) - f(x-h)}{2h}$$

Przeanalizuj, jak zachowuje się błąd $|D_h f(x) - f'(x)|$ dla funkcji $f(x) = \sin(x^3)$ oraz punktu $x = 0.2$ przy zmianie parametru h dla różnych typów zmiennoprzecinkowych (float, double). Wykreśl $|D_h f(x) - f'(x)|$ w funkcji h w skali logarytmicznej. Poeksperymentuj również używając innych funkcji i punktów.

Wstęp

Mierzmy błąd $E(h)$, który wyraża różnicę między przybliżoną przez nas wartością pochodnej $\overline{D_h f(x)}$ a dokładną pochodną $f'(x)$, gdzie dla funkcji $f(x) = \sin(x^3)$ pochodna wynosi $f'(x) = 3x^2 \cos(x^3)$. Mamy więc następujący wzór:

$$E(h) = |\overline{D_h f(x)} - f'(x)|$$

Dokonując obliczeń otrzymujemy:

$$\begin{aligned} \overline{D_h f(x)} &= \frac{f(x+h) \cdot (1 + \varepsilon_1) - f(x) \cdot (1 + \varepsilon_2)}{h} \\ &= \frac{f(x+h) - f(x)}{h} + \frac{f(x+h) \cdot \varepsilon_1 - f(x) \cdot (1 + \varepsilon_2)}{h} \end{aligned}$$

Rozwijamy funkcję w szereg Taylora:

$$\begin{aligned} f(x+h) &\approx f(x) + f'(x) \cdot h + \frac{1}{2} f''(x) \cdot h^2 \\ \overline{D_h f(x)} &= f'(x) + \frac{1}{2} f''(x) \cdot h + \frac{f(x) \cdot (\varepsilon_1 - \varepsilon_2)}{h} \\ |\overline{D_h f(x)} - f'(x)| &\approx \left| \frac{1}{2} f''(x) \cdot h + \frac{f(x) \cdot (\varepsilon_1 - \varepsilon_2)}{h} \right| \\ &\lesssim \frac{1}{2} |f''(x)| \cdot h + \frac{f(x) \cdot (|\varepsilon_1| + |\varepsilon_2|)}{h} \approx \frac{1}{2} |f''(x)| \cdot h + \frac{2 |f(x)| \cdot \varepsilon}{h} \end{aligned}$$

Błąd ostatecznie możemy zdefiniować jako:

$$E(h) \lesssim \frac{1}{2} |f''(x)| \cdot h + \frac{2 |f(x)| \cdot \varepsilon}{h}$$

Oczekiwane Wyniki:

W przypadku gdy $h \rightarrow 0$:

Oczekujemy wzrostu wartości funkcji $E(h)$, ponieważ dzielenie przez liczby bliskie zeru prowadzi do olbrzymich błędów numerycznych

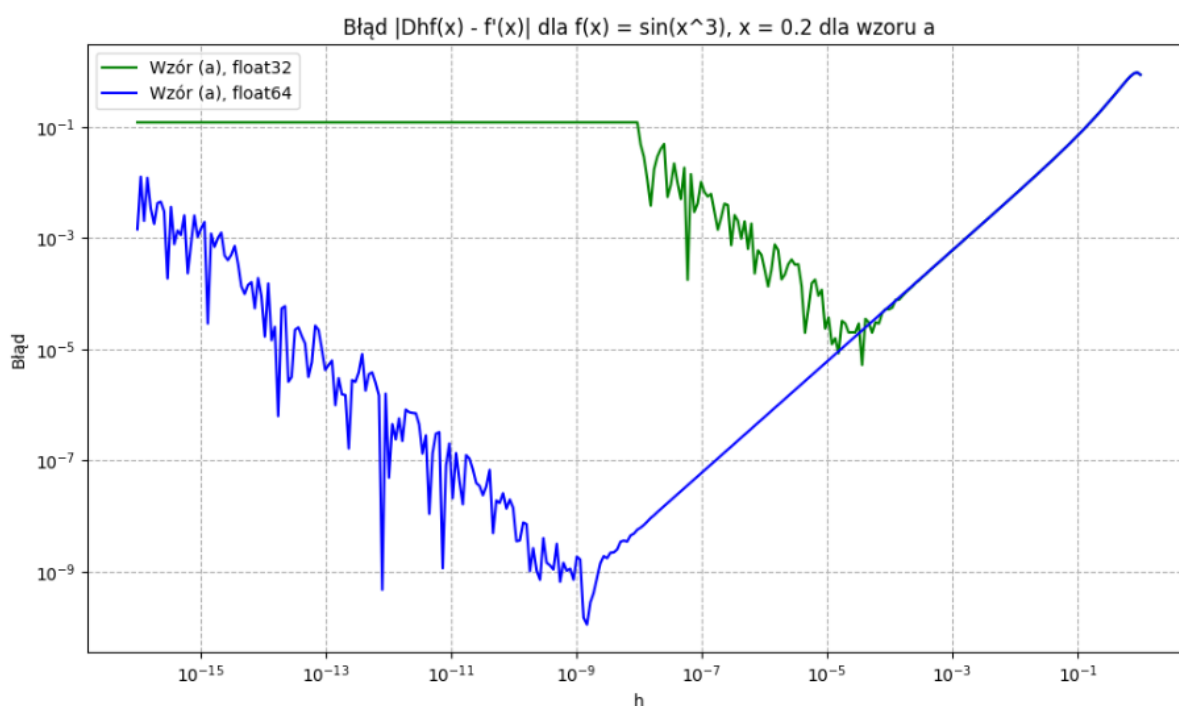
W przypadku gdy $h \rightarrow 1$:

Oczekujemy wzrostu wartości funkcji $E(h)$, gdyż im bliżej jesteśmy liczby 1, wówczas wzór bardziej przypomina iloraz różnicowy niżeli przybliżenie pochodnej.

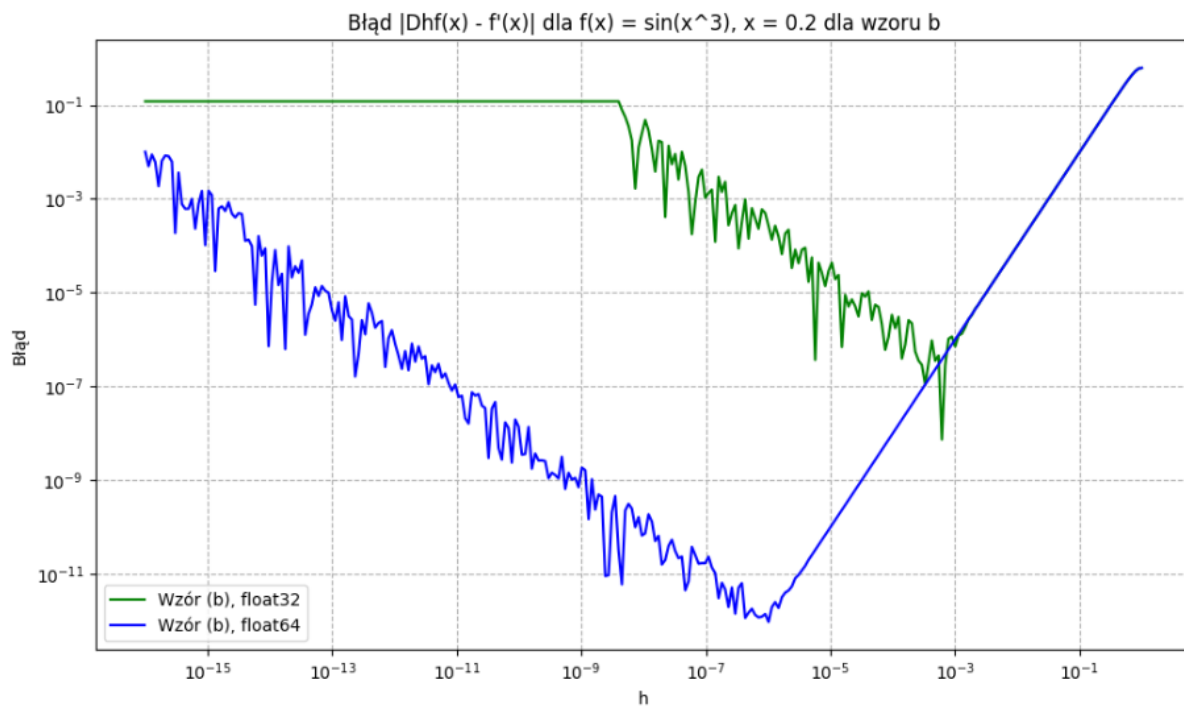
W rezultacie spodziewamy się, że dla bardzo dużych i bardzo małych wartości h , błąd $E(h)$ będzie duży, natomiast najdokładniejsze przybliżenie pochodnej wystąpi dla wartości h znajdujących się gdzieś w środku przedziału $(0, 1)$. Spodziewamy się, że kształt wykresu błędu będzie przypominał wykres funkcji wartości bezwzględnej, z minimum w zakresie $(0, 1)$.

Wyniki

a) Wynik dla $D_h f(x) \equiv \frac{f(x+h)-f(x)}{h}$ dla typów float32 i float64

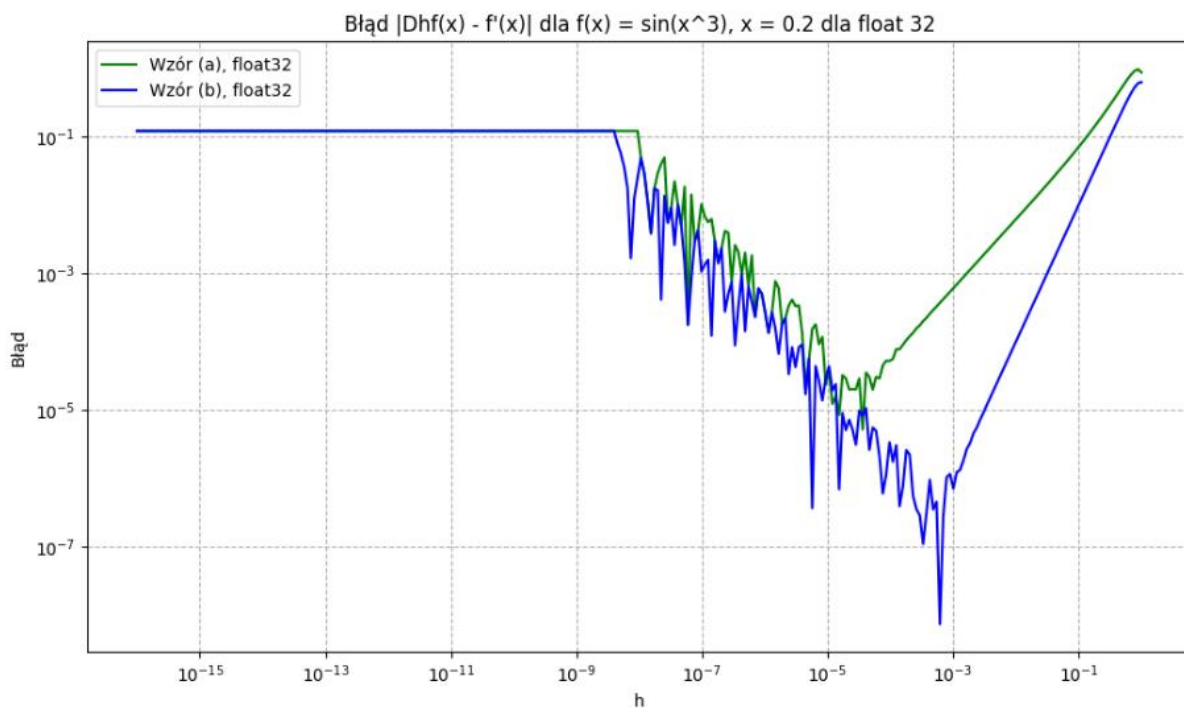


b) Wynik dla $D_h f(x) \equiv \frac{f(x+h)-f(x-h)}{2h}$ dla typów float32 i float64



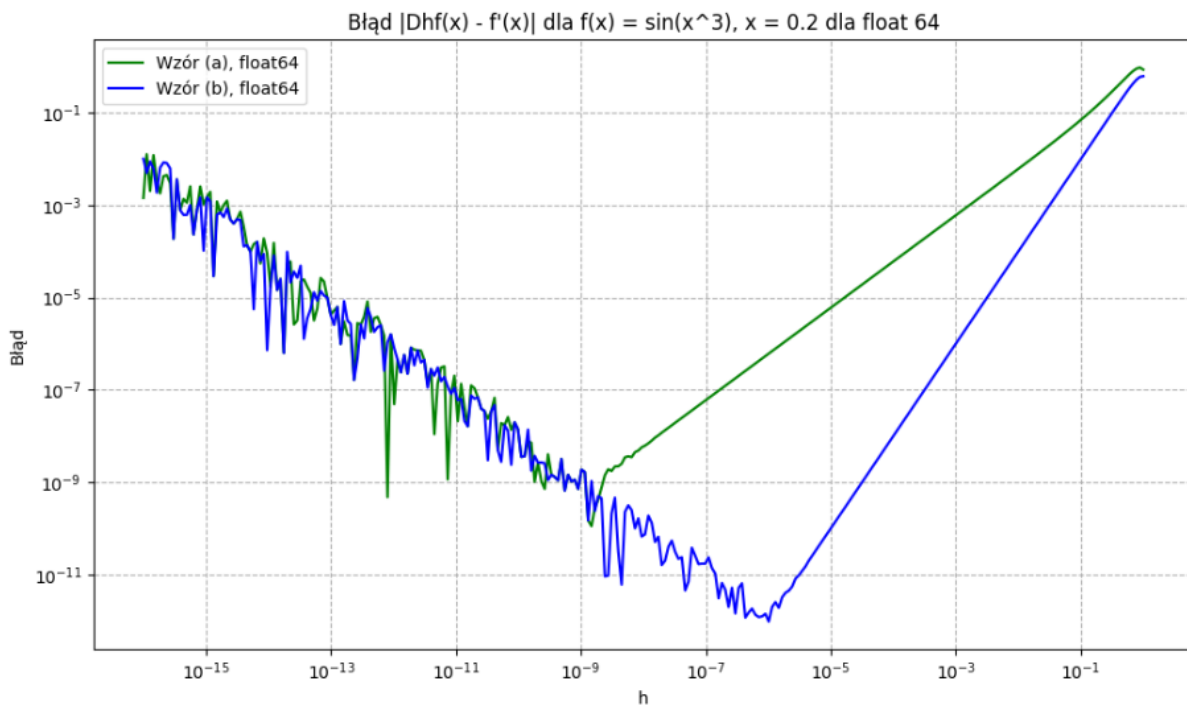
c) Wynik dla wzorów a) $D_h f(x) \equiv \frac{f(x+h)-f(x)}{h}$ oraz b) $D_h f(x) \equiv \frac{f(x+h)-f(x-h)}{2h}$

dla typu float32



d) Wynik dla wzorów a) $D_h f(x) \equiv \frac{f(x+h)-f(x)}{h}$ oraz b) $D_h f(x) \equiv \frac{f(x+h)-f(x-h)}{2h}$

dla typu float64



Wnioski

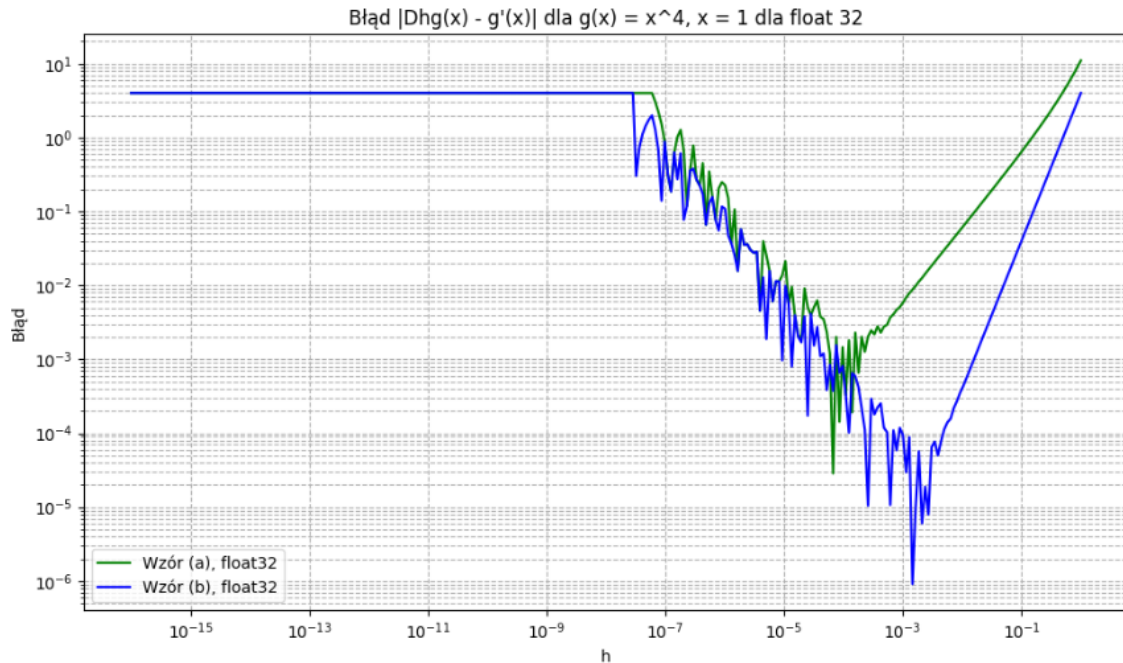
Na podstawie powyższych wykresów możemy zaobserwować:

- Za pomocą wzoru b) $D_h f(x) \equiv \frac{f(x+h)-f(x-h)}{2h}$ jesteśmy w stanie otrzymać większą precyzję obliczeń względem wzoru a) $D_h f(x) \equiv \frac{f(x+h)-f(x)}{h}$.
- Przy $h \rightarrow 0$: Sprawdza się oczekiwany wzrost wartości funkcji $E(h)$.
- Przy $h \rightarrow 1$: zgodnie z oczekiwaniami wartości funkcji $E(h)$ rosną.
- Przybliżenie jest znacznie dokładniejsze, gdy używamy typu float64. Wyższa precyzja typu float64 wynika z jego szerszego zakresu wartości (float64 jak wymaga 64 bitów, podczas gdy float32 tylko 32). Pozwala to na aproksymację wartości parametru „h” z większą dokładnością, co skutkuje mniejszymi błędami.
- W rezultacie z analizy wykresów dostrzegamy, że dla bardzo dużych i bardzo małych wartości h , błąd $E(h)$ jest duży, a najdokładniejsze przybliżenie pochodnej wystąpi dla wartości h znajdujących mniej więcej w środku przedziału $(0, 1)$.
- Wykres przyjmuje oczekiwany kształt tj. jak wykres wartości bezwzględnej.

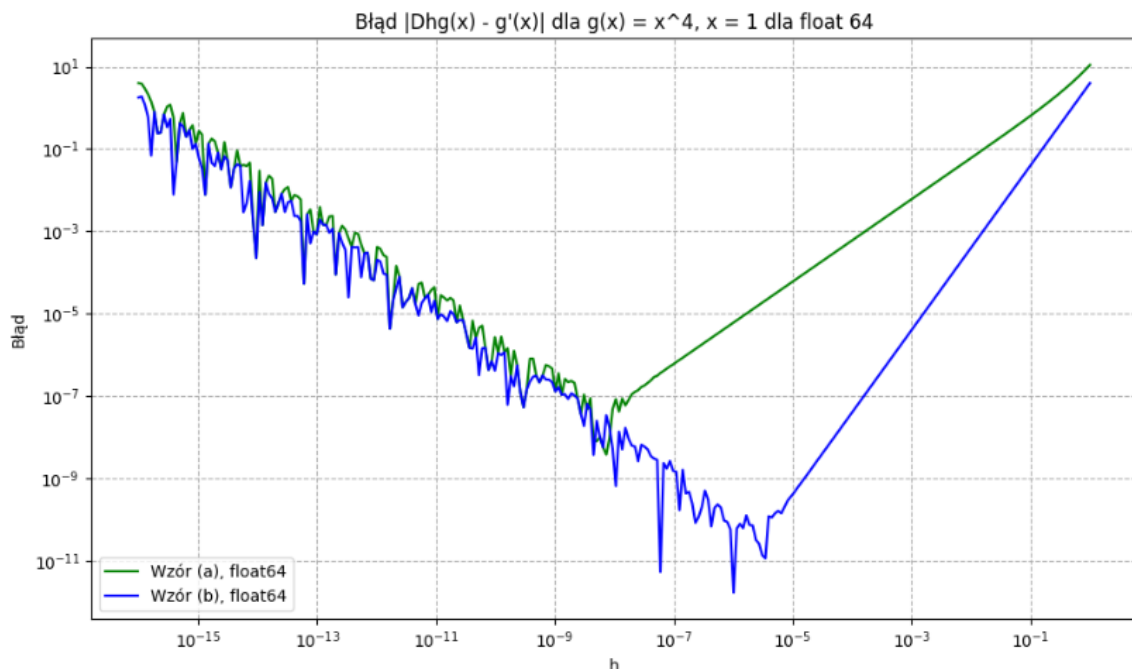
Dyskusja

a) Rozważmy dwa poniższe wykresy błędów względem wykresów błędów funkcji $\sin(x^3)$:

- Błąd dla przykładowej funkcji $g(x) = x^4$ w punkcie $x = 1$ dla typu float32



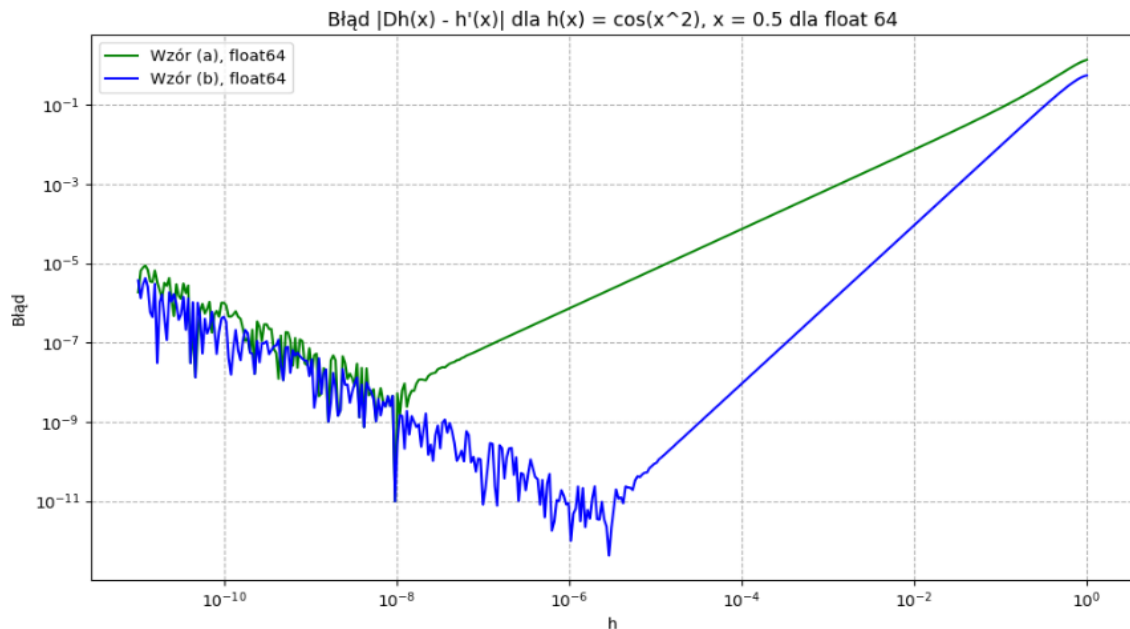
- Błąd dla przykładowej funkcji $g(x) = x^4$ w punkcie $x = 1$ dla typu float64



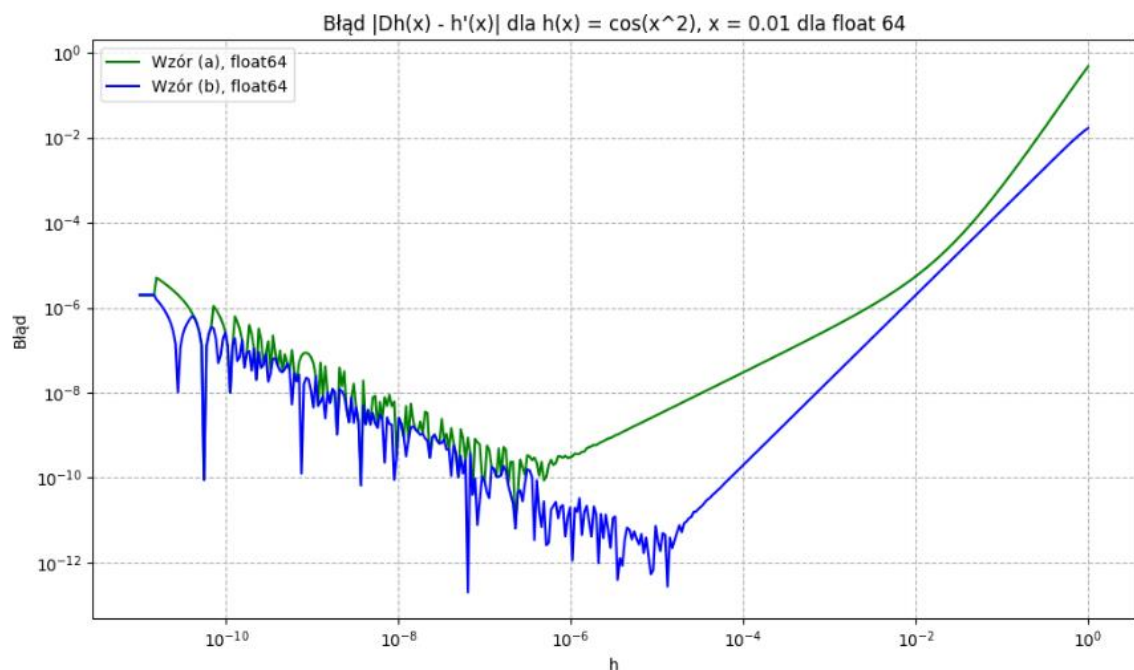
Możemy zaobserwować podobieństwo wykresów błędów powyższych funkcji do wykresów błędów dla funkcji $f(x) = \sin(x^3)$ odpowiednio dla typu float32 (trzeci wykres) i float64 (czwarty wykres).

Zatem jesteśmy w stanie stwierdzić, iż wykres błędów $E(h)$ jest niezależny od funkcji, którą wybierzemy.

- b) Rozważmy błąd dla przykładowej funkcji $h(x) = \cos(x^2)$ dla typu float64 w punktach odpowiednio: $x = 0.5$ i $x = 0.01$.
- Błąd dla przykładowej funkcji $h(x) = \cos(x^2)$ w punkcie $x = 0.5$ dla typu float64



- Błąd dla przykładowej funkcji $h(x) = \cos(x^2)$ w punkcie $x = 0.01$ dla typu float64



Analizując błędy dla typu float64 dla funkcji $h(x) = \cos(x^2)$ w punktach $x = 0.5$ oraz $x = 0.01$ Możemy zauważyć, że błędy dla wykresu w punkcie $x = 0.01$ względem poprzedniego (liczonego dla $x = 0.5$) są mniejsze.

Zatem możemy stwierdzić iż wykres błędu $E(h)$ jest zależny od punktu x , który wybierzemy.